

Zur iterativen Lösung von linearen Gleichungssystemen

H. Karl und S. Karl, GSO - Hochschule Nürnberg

1. 12. 2012

Zusammenfassung

Notwendiges und hinreichendes Kriterium dafür, dass eine Fixpunktiteration vom Typ

$$\underline{x}_{m+1} = \underline{\Phi} \cdot \underline{x}_m + \underline{h};$$

$$\underline{\Phi} \in \mathbf{R}^{n \times n}; \underline{x}_m, \underline{h} \in \mathbf{R}^n; m \in \mathbf{N}_0, n \in \mathbf{N}$$

unabhängig vom Anfangswert gegen einen Fixpunkt $\underline{x}^* \in \mathbf{R}^n$ konvergiert (für den dann: $\underline{x}^* = \underline{\Phi} \underline{x}^* + \underline{h}$ erfüllt ist) ist bekanntlich, dass für alle Eigenwerte von $\underline{\Phi}$: $\lambda_1, \dots, \lambda_l$ ($l \leq n$) gilt: $|\lambda_i| < 1$. $i \in \{1, \dots, l\}$

In dieser Arbeit wird ein neues Verfahren angegeben, das es gestattet die Konvergenz der Fixpunktiteration auch für den Fall zu erzwingen, dass die Eigenwerte von $\underline{\Phi}$ (der "Iterationsmatrix") betragsmäßig größer als eins sind.

Im ersten Kapitel dieser Arbeit wird ein neues Konzept vorgestellt, das es erlaubt, eine vorgelegte Fixpunktiteration so zu erweitern, dass jedes Eigenwerttupel der neu entstehenden Iterationsmatrix eingestellt werden kann. Das Eigenwerttupel der ursprünglichen Iterationsmatrix $\underline{\Phi}$ muss aber noch bekannt sein. Ein notwendiges und hinreichendes Kriterium für die Durchführbarkeit dieses Konzepts wird angegeben. Aus den errechneten Ergebnissen kann sehr einfach auf die Lösung des Ausgangsproblems zurückrechnet werden.

Im zweiten Kapitel wird dieses Konzept dann so erweitert, dass man auf die Kenntnis des Eigenwerttupels von $\underline{\Phi}$ verzichten kann: Die Verwendung von Optimierungsverfahren für lineare dynamische Systeme erzwingt eine Iterationsvorschrift, bei welcher der spektrale Radius der Iterationsmatrix kleiner eins (aber ansonsten nicht genauer bekannt) ist.

Das dritte Kapitel liefert schließlich eine Iterationsvorschrift, bei der der spektrale Radius vorgeschrieben werden kann, ohne dass das Spektrum der Iterationsmatrix $\underline{\Phi}$ bekannt sein muß. Insgesamt wird sich zeigen, dass sich damit das Einsatzgebiet von iterativen Rechenverfahren zur Lösung von linearen Gleichungssystemen bedeutend erweitern läßt.

1 Ein neues Konzept für die iterative Berechnung der Lösung eines linearen Gleichungssystems

Für die Überführung eines linearen Gleichungssystems vom Typ

$$\underline{A} \cdot \underline{x} = \underline{b}; \quad \underline{A} \in \mathbf{R}^{n \times n}, \quad \underline{x}, \underline{b} \in \mathbf{R}^n$$

in die Matrixdifferenzgleichung

$$\underline{x}_{m+1} = \underline{\Phi} \cdot \underline{x}_m + \underline{h}; \quad m \in \mathbf{N}_0, \quad \underline{x}_0 = \mathbf{R}^n$$

wird hier beispielhaft das Jacobische Iterationsverfahren verwendet. Aber auch für andere Iterationsverfahren (wie z.B. das Gauß-Seidelsche Verfahren) bleibt das hier vorzustellende Lösungskonzept gültig.

1.1 Eine Erweiterung des Jacobischen Iterationsverfahrens

Ausgehend von

$$\underline{A} \cdot \underline{x} = \underline{b}; \quad \underline{A} \in \mathbf{R}^{n \times n} \quad \underline{b}, \underline{x} \in \mathbf{R}^n \quad (1)$$

erhält man bekanntlich nach Einführung von:

$$\begin{aligned} \underline{L} = (l_{ij})_{i,j=1,\dots,n} & \quad l_{i,j} = \begin{cases} a_{i,j} & : i > j \\ 0 & : \text{sonst} \end{cases} \\ \underline{U} = (u_{ij})_{i,j=1,\dots,n} & \quad u_{i,j} = \begin{cases} a_{i,j} & : i < j \\ 0 & : \text{sonst} \end{cases} \\ \underline{D} = (d_{ij})_{i,j=1,\dots,n} & \quad d_{i,j} = \begin{cases} a_{i,j} & : i = j \\ 0 & : \text{sonst} \end{cases} \end{aligned}$$

für (1) die Darstellung:

$$(\underline{L} + \underline{D} + \underline{U})\underline{x} = \underline{b} \quad (2)$$

und weiter (wenn \underline{D} invertierbar ist)

$$\underline{x} = -\underline{D}^{-1} \cdot (\underline{L} + \underline{U}) \cdot \underline{x} + \underline{D}^{-1} \cdot \underline{b} \quad (3)$$

Kürzt man ab:

$$\underline{\Phi} = -\underline{D}^{-1} \cdot (\underline{L} + \underline{U}) \quad (4)$$

$$\underline{h} = \underline{D}^{-1} \cdot \underline{b} \quad (5)$$

so kommt man auf die zugehörige Fixpunktform

$$\underline{x} = \underline{\Phi} \cdot \underline{x} + \underline{h} \quad (6)$$

Davon ausgehend wird die Iterationsvorschrift (Matrixdifferenzgleichung)

$$\underline{x}_{m+1} = \underline{\Phi} \cdot \underline{x}_m + \underline{h}; \quad m \in \mathbf{N}_0, \quad \underline{x}_0 = \mathbf{R}^n \quad (7)$$

formuliert. Man definiert:

Definition 1.1 Das Iterationsverfahren (7) ist konsistent zur Matrix \underline{A} , wenn für alle $\underline{b} \in \mathbf{R}^n$ der Term $\underline{A}^{-1} \cdot \underline{b}$ ein Fixpunkt für dieses Iterationsverfahren ist.

Bekanntlich ist die Iterationsvorschrift (7) konsistent zur Matrix \underline{A} , wenn für den Spektralradius von $\underline{\Phi}$ gilt [Mei] :

$$\rho(\underline{\Phi}) < 1 \quad (8)$$

Für den Fall $\rho(\underline{\Phi}) \geq 1$ werde die Iterationsvorschrift (7) jetzt wie folgt erweitert:

$$\tilde{\underline{x}}_{m+1} = \underbrace{\left(\underline{\Phi} - \underline{h} \cdot \underline{k}^T \right)}_{=\tilde{\underline{\Phi}}} \cdot \tilde{\underline{x}}_m + \underline{h}; \quad \tilde{\underline{x}}_0 = \underline{x}_0; \quad \underline{k} \in \mathbf{R}^n \quad (9)$$

Anmerkung 1.1 Die Differenzgleichung (9) wird in dieser Arbeit das erweiterte Iterationsverfahren genannt.

Durch die Forderung nach einem Eigenwerttupel für $\tilde{\underline{\Phi}}$ soll der Vektor \underline{k} festgelegt werden. Diese Forderung beschreibt das (in der Regelungstechnik seit langem verwendete) Konzept der Zustandsregelung. Unter welchen Bedingungen diese Forderung erfüllt werden kann, besagt der nachfolgende Satz [Hart1]:

Satz 1.1 *Notwendig und hinreichend dafür, dass für eine Matrix $\tilde{\underline{\Phi}} = \underline{\Phi} - \underline{h} \cdot \underline{k}^T$ durch geeignete Wahl von \underline{k} jedes beliebige Eigenwerttupel eingestellt werden kann ist, dass:*

$$rg(\underline{h}, \underline{\Phi} \cdot \underline{h}, \dots, \underline{\Phi}^{n-1} \cdot \underline{h}) = n$$

erfüllt ist.

Rechenverfahren zur Berechnung eines geeigneten \underline{k} - Vektors nachdem

die Eigenwerte $\lambda_1, \dots, \lambda_n$ der Matrix $\underline{\Phi}$ bekannt

und

die Eigenwerte $\tilde{\lambda}_1, \dots, \tilde{\lambda}_n$ der Matrix $\tilde{\underline{\Phi}}$ gefordert

werden, sind seit langem bekannt. Sie laufen auf einen Koeffizientenvergleich der zugehörigen charakteristischen Polynome (von $\underline{\Phi}$ und $\tilde{\underline{\Phi}}$) und einen Basiswechsel im \mathbf{R}^n hinaus. Um aber diejenige Transformationsmatrix zu berechnen, die diesen Basiswechsel vermittelt, ist die Lösung eines weiteren $n \times n$ - Gleichungssystems erforderlich. [Foell]

Damit erscheint das gesamte, neue Konzept für die iterative Berechnung der Lösung eines linearen Gleichungssystems hinfällig. Der Aufwand ist normalerweise zu groß: damit das Gleichungssystem (1) in der Darstellung (9) iterativ gelöst werden kann, müßte ja vorher ein anderes Gleichungssystem von derselben Ordnung gelöst werden. Hinzu kommt die Berechnung des Eigenwerttupels von $\underline{\Phi}$. Immerhin sollen einige bemerkenswerte Aspekte für dieses neue Konzept vorgestellt werden. Damit rechtfertigen sich weitere Modifikationen die schließlich auf ein leistungsfähiges Lösungskonzept (vgl. Folgekapitel) führen.

Von den neuen Aspekten seien genannt (diese gelten, wenn die Bedingung von Satz 1.1 erfüllt ist):

1. Unabhängig vom Spektralradius der Matrix $\underline{\Phi}$ kann man eine gegen den Fixpunkt von (9) konvergente Iteration erzeugen.
2. Indem man von $\tilde{\underline{\Phi}}$ verlangt: $\tilde{\lambda}_1 = 0, \dots, \tilde{\lambda}_n = 0$, konvergiert die Iteration (9) nach genau "n" - Iterationsschritten und das Ergebnis ist exakt.
3. Die Rückrechnung von dem unter (9) errechneten Fixpunkt in den Fixpunkt von (7) und damit in die Lösung von (1) ist elementar.

Bevor diese neuen Aspekte anhand eines kleinen Rechenbeispiels demonstriert werden, soll der unter Punkt 2 genannte Aspekt hervorgehoben werden.

1.2 Minimale Anzahl von Iterationen

Die Bedingung von Satz 1.1 sei erfüllt. \underline{k} kann dann für jedes geforderte Eigenwerttupel von $\tilde{\Phi}$ (also von $\tilde{\lambda}_1, \dots, \tilde{\lambda}_n$) berechnet werden. Insbesondere auch für $\tilde{\lambda}_1 = 0, \dots, \tilde{\lambda}_n = 0$. $\tilde{\Phi}$ ist dann nilpotent. Dieser Fall soll jetzt für die $\tilde{\Phi}$ -Matrix der Differenzgleichung (9) vorliegen:

$$\tilde{\underline{x}}_{m+1} = \tilde{\Phi} \cdot \tilde{\underline{x}}_m + \underline{h}; \quad \tilde{\underline{x}}_0 = \underline{x}_0$$

Der zugehörige Fixpunkt sei $\hat{\underline{x}}$:

$$\hat{\underline{x}} = \tilde{\Phi} \cdot \hat{\underline{x}} + \underline{h}$$

Subtrahiert man die letzten beiden Gleichungen voneinander, so erhält man

$$\tilde{\underline{x}}_{m+1} - \hat{\underline{x}} = \tilde{\Phi} \cdot (\tilde{\underline{x}}_m - \hat{\underline{x}}); \quad \tilde{\underline{x}}_0 - \hat{\underline{x}} = \underline{x}_0 - \hat{\underline{x}} \quad (10)$$

und mit

$$\underline{e}_m := \tilde{\underline{x}}_m - \hat{\underline{x}} \quad (11)$$

endlich

$$\underline{e}_{m+1} = \tilde{\Phi} \cdot \underline{e}_m; \quad \underline{e}_0 = \underline{x}_0 - \hat{\underline{x}} \quad (12)$$

Rückwärtseinsetzen der einzelnen Gleichungen aus (12) liefert

$$\begin{aligned} \underline{e}_1 &= \tilde{\Phi} \cdot \underline{e}_0 \\ \underline{e}_2 &= \tilde{\Phi}^2 \cdot \underline{e}_0 \\ &\vdots \\ \underline{e}_n &= \tilde{\Phi}^n \cdot \underline{e}_0 \end{aligned}$$

Wegen der vorausgesetzten Nilpotenz von $\tilde{\Phi}$ ist $\underline{e}_n = \underline{0}$ und folglich $\tilde{\underline{x}}_n = \hat{\underline{x}}$. Nach $m = n$ Schritten wird der Fixpunkt also exakt erreicht.

Im anschließenden Beispiel wird noch gezeigt, wie sich aus diesem Fixpunkt $\hat{\underline{x}}$ für das erweiterte Iterationsverfahren die Lösung \underline{x} für das Ausgangsproblem (1) berechnet.

1.3 Beispiele

1.3.1 Sämtliche Eigenwerte von $\tilde{\Phi}$ liegen bei Null

Für das entsprechend (1) zu lösende, lineare Gleichungssystem lauten Matrix und Vektor

$$\underline{A} = \begin{pmatrix} 59 & -63 & -2 \\ 29 & 42 & 51 \\ 36 & 31 & -67 \end{pmatrix} \quad \text{und} \quad \underline{b} = \begin{pmatrix} -73 \\ 266 \\ -103 \end{pmatrix}, \quad \text{mit Lösungsvektor} \quad \underline{x} = \begin{pmatrix} 1 \\ 2 \\ 3 \end{pmatrix}.$$

Die zugehörigen Matrizen entsprechend (7) sind

$$\underline{\Phi} = \begin{pmatrix} 0,000.000.000 & 1,067.796.610 & 0,033.898.305 \\ -0,690.476.190 & 0,000.000.000 & -1,214.285.714 \\ 0,537.313.433 & 0,462.686.567 & 0,000.000.000 \end{pmatrix} \quad \text{und} \quad \underline{h} = \begin{pmatrix} -1,237.288.135.593 \\ 6,333.333.333.333 \\ 1,537.313.432.836 \end{pmatrix}$$

Da $\lambda_1 = 0,235.428 + i \cdot 1,202.990$, $\lambda_2 = 0,235.428 - i \cdot 1,202.990$, $\lambda_3 = -0,470.856$ die Eigenwerte von $\underline{\Phi}$ (und damit $|\lambda_1|, |\lambda_2| > 1$) sind, wird das Iterationsverfahren (7) nicht konvergieren.

Verlangt man nunmehr, dass $\tilde{\Phi}$ (vgl. (9)) einen Dreifacheigenwert bei $\tilde{\lambda}_1 = 0$, $\tilde{\lambda}_2 = 0$, $\tilde{\lambda}_3 = 0$ habe, dann ergibt sich (nach Koeffizientenvergleich der charakteristischen Polynome von $\underline{\Phi}$ und $\tilde{\Phi}$ und anschließendem Basiswechsel im \mathbf{R}^n [Foell]) ein Vektor

$$\underline{k}^T = (-0,117.899 \quad 0,025.369 \quad -0,199.404)$$

Nach drei Schritten erreicht die Iteration (9) den Vektor

$$\tilde{\underline{x}}_3 = \begin{pmatrix} 2,988.423 \\ 5,976.846 \\ 8,956.270 \end{pmatrix}$$

(Der Startvektor war in diesem Fall der Nullvektor.) Zufolge 1.2 ist (unabhängig vom Startvektor) $\tilde{\underline{x}}_3$ der Fixpunkt $\hat{\underline{x}}$ der Iteration (9).

Den originalen Lösungsvektor " \underline{x} " erhält man, wenn man, ausgehend von (9), den Wert für $\hat{\underline{x}}$ einsetzt

$$\hat{\underline{x}} = (\underline{\Phi} - \underline{h} \cdot \underline{k}^T) \cdot \hat{\underline{x}} + \underline{h}$$

aufföst (vgl. (4) und (5))

$$\begin{aligned} \hat{\underline{x}} &= \underline{\Phi} \cdot \hat{\underline{x}} - \underline{h} \cdot \underline{k}^T \cdot \hat{\underline{x}} + \underline{h} \\ &= -\underline{D}^{-1} \cdot (\underline{L} + \underline{U}) \cdot \hat{\underline{x}} - \underline{D}^{-1} \cdot \underline{b} \cdot \underline{k}^T \cdot \hat{\underline{x}} + \underline{D}^{-1} \cdot \underline{b} \end{aligned}$$

mit \underline{D} auf beiden Seiten der Gleichung durchmultipliziert

$$\underline{D} \cdot \hat{\underline{x}} = -(\underline{L} + \underline{U}) \cdot \hat{\underline{x}} - \underline{b} \cdot \underline{k}^T \cdot \hat{\underline{x}} + \underline{b}$$

umstellt und rückschließt:

$$\underline{A} \cdot \hat{\underline{x}} = \underline{b} - \underline{b} \cdot \underline{k}^T \cdot \hat{\underline{x}}$$

Dann erhält man

$$\begin{aligned} \hat{\underline{x}} &= \underline{A}^{-1} \cdot \underline{b} - \underline{A}^{-1} \cdot \underline{b} \cdot \underline{k}^T \cdot \hat{\underline{x}} \\ &= \underline{x} - \underline{x} \cdot (\underline{k}^T \cdot \hat{\underline{x}}) \end{aligned}$$

und endlich

$$\underline{x} = \left(\frac{1}{1 - \underline{k}^T \cdot \hat{\underline{x}}} \right) \cdot \hat{\underline{x}} \quad (13)$$

Berechnet man schließlich mit diesem Lösungsvektor den Restfehler $\underline{r} := \underline{A} \cdot \underline{x} - \underline{b}$, so erhält man für das vorgelegte Beispiel Restfehlerkomponenten von der Größenordnung 10^{-14} .

1.3.2 Die Eigenwerte von $\tilde{\Phi}$ liegen bei $\tilde{\lambda}_1 = 0,1$, $\tilde{\lambda}_2 = 0,2$ und $\tilde{\lambda}_3 = 0,3$

Hierfür lautet

$$\underline{k}^T = (-0,119.694 \quad -0,072.227 \quad -0.189.066)$$

Um die Genauigkeit von 1.3.1 zu erreichen sind 45 Iterationsschritte notwendig. Es ist

$$\tilde{\underline{x}}_{45} = \begin{pmatrix} 5,929.411 \\ 11,858.823 \\ 17,788.235 \end{pmatrix}$$

Der Startvektor für dieses Iterationsergebnis ist $x_0 = (1 \ 1 \ 1)^T$. Nach Rücktransformation (13) ergibt sich der Lösungsvektor mit Restfehlerkomponenten wieder von der Größenordnung 10^{-14} .

2 Anwendung von Optimierungsverfahren

Bestimmte Optimierungsverfahren für lineare Regelsysteme liefern ebenfalls einen Vektor "k" der einen Spektralradius $\rho(\tilde{\Phi}) < 1$ erzwingt. Es ist naheliegend, diesen Vektor "k" auch für das erweiterte Iterationsverfahren (9) einzusetzen. Diese Optimierungsverfahren benötigen keine Berechnung von Matrixeigenwerten. Die Grundlagen zu dem hier vorzustellenden Optimierungskonzept sind z.B. in [Ludyk] dargestellt. Eine typische Aufgabenstellung und die zugehörige Lösung für die Optimierung linearer, dynamischer Systeme wird jetzt vorgestellt. Anschließend wird der, für das Optimierungsverfahren gefundene, Vektor "k" in unserem Iterationsverfahren verwendet.

2.1 Das Optimierungsproblem

Gegeben sei für $\Phi \in \mathbf{R}^{n \times n}$, $h \in \mathbf{R}^n$, $\{u_m\}_{m \in \mathbf{N}_0}$ mit $u_m \in \mathbf{R}$

die Iterationsvorschrift für die Folge $\{x_m\}_{m \in \mathbf{N}_0}$ mit $x_m \in \mathbf{R}^n$:

$$x_{m+1} = \Phi \cdot x_m + h \cdot u_m \quad (14)$$

Weiterhin seien gegeben:

- die positiv definite Matrix $S \in \mathbf{R}^{n \times n}$
- die Zahl $r > 0$
- ein Vektor $c \in \mathbf{R}^n$ mit der Eigenschaft, dass gilt:

$$\text{Rang} \begin{pmatrix} c^T \\ c^T \cdot \Phi \\ \vdots \\ c^T \cdot \Phi^{n-1} \end{pmatrix} = n \quad \text{und} \quad c \cdot c^T = Q \in \mathbf{R}^{n \times n} \text{ ist positiv semidefinit} \quad (15)$$

Gesucht ist für beliebig vorgegebenes $N \in \mathbf{N}$ eine Vektorfolge $\{k_m\}_{m \in \{0,1,2,\dots,N-1\}}$, sodass nach Bildung von

$$z_{m+1} = \Phi \cdot z_m + h \cdot u_m; \quad z_{m=0} = z_0 \quad (16)$$

$$u_m = -k_m^T \cdot z_m; \quad (17)$$

das quadratische Gütekriterium

$$J_N = \frac{1}{2} z_N^T \cdot S \cdot z_N + \frac{1}{2} \sum_{m=0}^{N-1} z_m^T (c \cdot c^T) z_m + r \cdot u_m^2 \quad N \in \mathbf{N} \quad (18)$$

minimal wird.

Der Wechsel der Variablenbezeichnung von "x_m" nach "z_m" wird notwendig, da nach Einsetzen von (17) in (16) im Gegensatz zu (9) nunmehr eine homogene Matrix - Differenzgleichung entsteht. Man beachte weiterhin, dass in (16) mit variablem "k_m" gerechnet wird.

Die Lösung dieser Optimierungsaufgabe lautet unter der Voraussetzung, dass zusätzlich Satz 1.1 gilt [Ludyk]:

Satz 2.1 Für jedes $N \in \mathbf{N}$ gilt: Für das mathematische Modell (16)-(18) in Verbindung mit der Forderung:

$$J_N = \text{Min}$$

berechnet sich der "optimale Vektor" zu

$$\underline{k}_m^T = \frac{1}{r + \underline{h}^T \cdot \underline{P}_{m+1} \cdot \underline{h}} \cdot \left(\underline{h}^T \cdot \underline{P}_{m+1} \cdot \underline{\Phi} \right); \quad m \in \{0, 1, 2, \dots, N-1\} \quad (19)$$

Hierbei ist $\underline{P}_m \in \mathbf{R}^{n \times n}$ die Lösung der Matrix - Riccati - Differenzgleichung

$$\underline{P}_m = \underline{Q} + \underline{\Phi}^T \left[\underline{P}_{m+1} - \underline{P}_{m+1} \underline{h} \underline{h}^T \underline{P}_{m+1} \cdot \frac{1}{r + \underline{h}^T \underline{P}_{m+1} \underline{h}} \right] \underline{\Phi}; \quad m \in \{1, 2, \dots, N-1\} \quad (20)$$

mit dem Endwert $\underline{P}_N = \underline{S}$.

Die Matrix - Riccati - Differenzgleichung ist also "rückwärts" zu lösen. Aus der so entstehenden Folge $\{\underline{P}_N, \underline{P}_{N-1}, \dots, \underline{P}_1\}$ errechnet sich $\{\underline{k}_{N-1}, \underline{k}_{N-2}, \dots, \underline{k}_0\}$.

Der sich für " J_N " ergebende Wert ist für unsere Betrachtungen nicht weiter interessant. Wichtig hingegen ist, daß die damit verbundene Rekursion (die homogene Matrix - Differenzgleichung)

$$\underline{z}_{m+1} = \left(\underline{\Phi} - \underline{h} \cdot \underline{k}_m^T \right) \underline{z}_m; \quad \underline{z}_{m=0} = \underline{z}_0$$

unabhängig vom Anfangsvektor \underline{z}_0 gegen den Grenzwert $\lim_{N \rightarrow \infty} \underline{z}_N = \underline{0}$ konvergiert. (Das ist zumindest plausibel, da wegen der vorausgesetzten positiven Definitheit von \underline{S} und der Semidefinitheit von \underline{Q} ein Minimum für " J_N " nur angenommen werden kann, wenn $\lim_{N \rightarrow \infty} \underline{z}_N = \underline{0}$ gilt. Man beachte, daß für " N " keine weiteren Annahmen als $N \in \mathbf{N}$ gemacht wurde und dass folglich " N " beliebig groß sein darf. Tatsächlich kann man zeigen, dass aufgrund der vorausgesetzten Eigenschaften von Vektor \underline{c} , vgl. (15), die positive Semidefinitheit von \underline{Q} hierfür ausreicht.[Ludyk])

Anmerkung 2.1 In der nach (19) berechneten Vektorfolge $\{\underline{k}_m\}_{m \in \{0,1,2,\dots,N-1\}}$ konvergiert für $N \rightarrow \infty$ und unter der Voraussetzung (15) der Vektor \underline{k}_0 gegen einen Grenzwert. Dieser werde wieder mit " \underline{k} " bezeichnet. Der Grenzwert \underline{k} ergibt sich auch als Lösung der diskreten algebraischen Matrix - Riccati - Gleichung:

$$\underline{P} = \underline{Q} + \underline{\Phi}^T \left[\underline{P} - \underline{P} \underline{h} \underline{h}^T \underline{P} \cdot \frac{1}{r + \underline{h}^T \underline{P} \underline{h}} \right] \underline{\Phi} \quad (21)$$

zu

$$\underline{k}^T = \frac{1}{r + \underline{h}^T \underline{P} \underline{h}} \cdot \left(\underline{h}^T \cdot \underline{P} \cdot \underline{\Phi} \right) \quad (22)$$

Obwohl für die Lösung der diskreten algebraischen Matrix - Riccati - Gleichung schon Lösungsverfahren bereitgestellt sind (z.B. der Befehl "DARE" unter Matlab), empfiehlt es sich im Hinblick auf das betrachtete Problem (iteratives Lösen von linearen Gleichungssystemen), doch besser mit der Matrix - Riccati - Differenzgleichung (20) zu rechnen: alle uns bekannten Lösungsverfahren für die Lösung der diskreten algebraischen Matrix - Riccati - Gleichung verwenden intern die Berechnung von Matrixeigenwerten, was bei Gleichungssystemen hoher Ordnung wieder auf Numerikprobleme führen kann. Durch Einsetzen von \underline{P}_m in (21) kann man die Qualität der iterierten Lösung überprüfen. Sei:

$$\underline{\Delta} = \underline{Q} + \underline{\Phi}^T \left[\underline{P}_m - \underline{P}_m \underline{h} \underline{h}^T \underline{P}_m \cdot \frac{1}{r + \underline{h}^T \underline{P}_m \underline{h}} \right] \underline{\Phi} - \underline{P}_m$$

und liege $\|\underline{\Delta}\|$ unterhalb einer hinreichend kleinen Schranke, so kann \underline{P}_m durch \underline{P} ersetzt werden. Damit berechne man \underline{k}^T entsprechend (22).

Anmerkung 2.2 Mit diesem \underline{k} - Vektor konvergiert aber auch die Iteration (9):

$$\tilde{\underline{x}}_{m+1} = (\underline{\Phi} - \underline{h} \cdot \underline{k}^T) \cdot \tilde{\underline{x}}_m + \underline{h}; \quad \tilde{\underline{x}}_{m=0} = \tilde{\underline{x}}_0$$

gegen einen Fixpunkt.

Bevor weitere Anmerkungen zu den Matrizen \underline{S} , \underline{Q} und \underline{P}_m sowie zu "r" gemacht werden, sollen die bisherigen Ergebnisse an einem Beispiel demonstriert werden. Wir greifen wieder die \underline{A} und die $\underline{\Phi}$ - Matrix sowie den \underline{b} und \underline{h} - Vektor von Beispiel (1.3) auf.

2.2 Weiterführung des Beispiels

Mit den recht willkürlichen Werten für

$$\underline{c}^T = (1 \ 4 \ 5)$$

und folglich

$$\underline{Q} = \begin{pmatrix} 1 & 4 & 5 \\ 4 & 16 & 20 \\ 5 & 20 & 25 \end{pmatrix}$$

sowie mit

$$\underline{S} = \underline{E} - \text{Einheitsmatrix und } r = 0,5$$

erhält man für N = 100 Iterationen, beginnend mit $P_{100} = \text{Einheitsmatrix}$ mit Hilfe der Gleichung (20)

$$\underline{P}_{99} \approx \begin{pmatrix} 1,482.773.652 & 4,200.001.512 & 5,222.175.153 \\ 4,200.001.512 & 17,345.911.012 & 19,930.235.464 \\ 5,222.175.153 & 19,930.235.464 & 25,132.197.634 \end{pmatrix}$$

⋮

$$\underline{P}_2 \approx \begin{pmatrix} 1,035.281.548 & 4,023.046.495 & 5,014.945.202 \\ 4,023.046.495 & 16,060.198.199 & 19,996.629.128 \\ 5,014.945.202 & 19,996.629.128 & 25,018.325.346 \end{pmatrix}$$

$$\underline{P}_1 \approx \begin{pmatrix} 1,035.281.548 & 4,023.046.495 & 5,014.945.201 \\ 4,023.046.495 & 16,060.198.200 & 19,996.629.128 \\ 5,014.945.201 & 19,996.629.128 & 25,018.325.346 \end{pmatrix}$$

Für die Vektoren \underline{k}_m^T ergibt das mit der Gleichung (19):

$$\underline{k}_{99}^T \approx (-0,079.698.253 \quad -0,013.703.479 \quad -0,173.741.413)$$

$$\underline{k}_{98}^T \approx (-0,007.838.204 \quad 0,102.143.449 \quad -0,153.895.906)$$

⋮

$$\underline{k}_1^T \approx (-0,002.607.656 \quad 0,106.247.305 \quad -0,151.791.016)$$

$$\underline{k}_0^T \approx (-0,002.607.656 \quad 0,106.247.305 \quad -0,151.791.016)$$

Und kompakter (jetzt mit gerundeten Zahlenwerten):

m	P_m									k_m		
100	1,000	0,000	0,000	0,000	1,000	0,000	0,000	0,000	1,000	— — —		
99	1,483	4,200	5,222	4,200	17,346	19,930	5,222	19,930	25,132	-0,079.698	-0,013.703	-0,173.741
98	1,672	4,629	5,258	4,629	17,168	20,160	5,258	20,160	25,119	-0,007.838	0,102.143	-0,153.896
...		
1	1,035	4,032	5,015	4,023	16,060	19,997	5,015	19,997	25,018	-0,002.608	0,106.247	-0,151.791
0	— — —									-0,002.608	0,106.247	-0,151.791

Die nachstehende Abbildung 1 zeigt den Verlauf der Komponenten des iterierten k_m -Vektors:

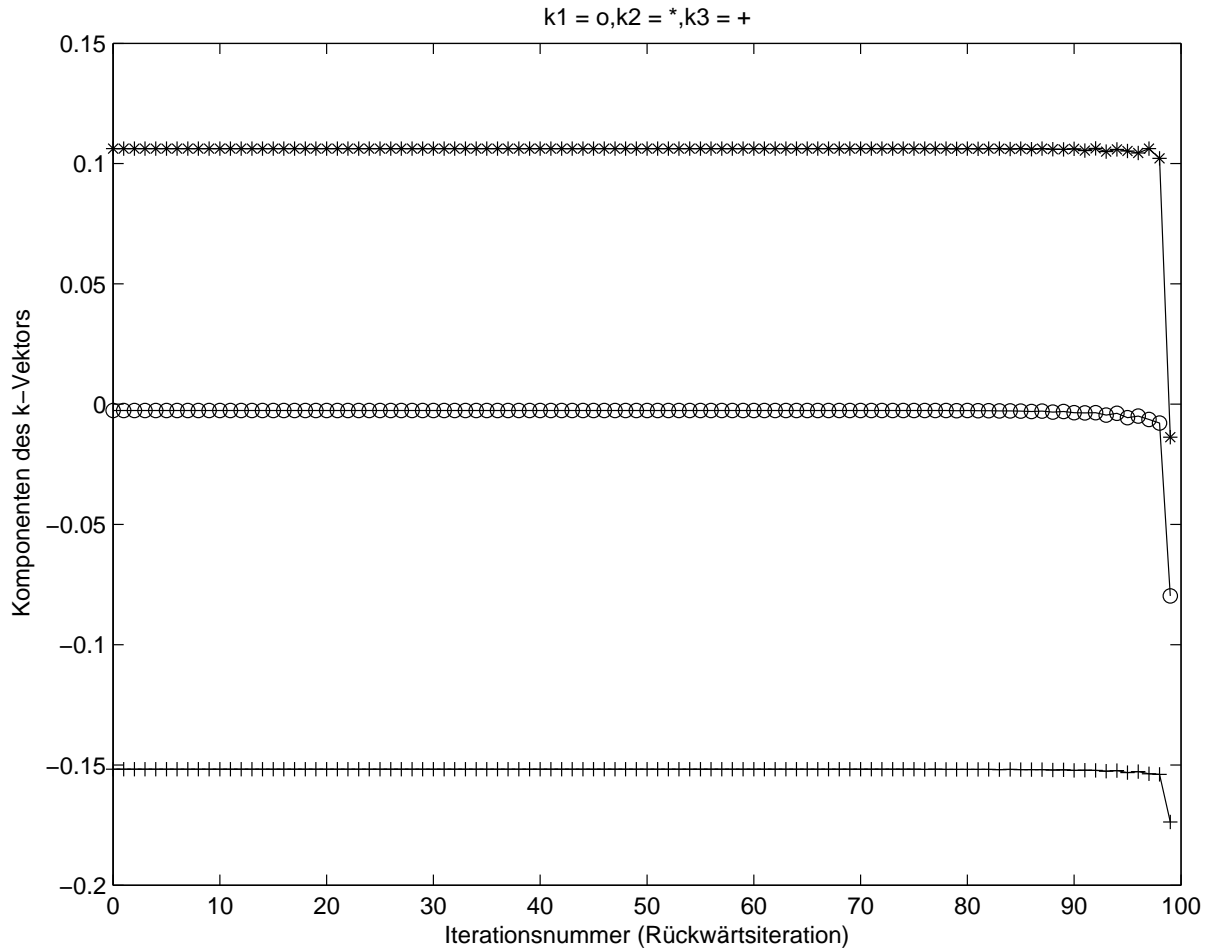


Abbildung 1: Darstellung der Komponenten des k_m -Vektors. Die Konvergenz gegen einen Grenzwert ist unter Vorlage der Voraussetzungen von Satz 2.1 und von (15) gesichert.

\underline{P}_1 ist eine Näherungslösung von \underline{P} entsprechend (21):

$$\underline{P} = \begin{pmatrix} 1,035.281.547.600 & 4,023.046.494.700 & 5,014.945.201.200 \\ 4,023.046.494.700 & 16,060.198.198.000 & 19,996.629.128.000 \\ 5,014.945.201.200 & 19,996.629.128.000 & 25,018.325.346.000 \end{pmatrix}$$

und \underline{k}_0 eine Näherungslösung von (22):

$$\underline{k}^T = (-0,002.607.655.915 \quad 0,106.247.305.105 \quad -0,151.791.015.721)$$

Mit diesem \underline{k} -Vektor und dem Startvektor $\underline{\tilde{x}}_0^T = (1, 1, 1)$ liefert die Iteration (9):

$$\underline{\tilde{x}}_{10} = \begin{pmatrix} 1,140.376.318.225 \\ 1,890.942.195.607 \\ 4,622.734.949.616 \end{pmatrix} \quad \underline{x}_{10} = \begin{pmatrix} 0,758.352.051.190 \\ 1,257.479.544.079 \\ 3,074.126.036.400 \end{pmatrix}$$

$$\underline{\tilde{x}}_{25} = \begin{pmatrix} 1,136.239.118.708 \\ 2,798.412.723.144 \\ 3,895.441.810.180 \end{pmatrix} \quad \underline{x}_{25} = \begin{pmatrix} 0,876.097.560.719 \\ 2,157.717.086.365 \\ 3,003.581.738.766 \end{pmatrix}$$

$$\underline{\tilde{x}}_{100} = \begin{pmatrix} 1,325.309.503.590 \\ 2,650.663.291.458 \\ 3,976.119.363.656 \end{pmatrix} \quad \underline{x}_{100} = \begin{pmatrix} 0,999.954.870.724 \\ 1,999.943.154.231 \\ 3,000.008.611.948 \end{pmatrix}$$

$$\underline{\tilde{x}}_{250} = \begin{pmatrix} 1,325.356.617.751 \\ 2,650.713.325.513 \\ 3,976.069.853.246 \end{pmatrix} \quad \underline{x}_{250} = \begin{pmatrix} 1,000.000.000.002 \\ 2,000.000.000.011 \\ 2,999.999.999.999 \end{pmatrix}$$

(Bei der Berechnung dieser \underline{x} -Vektoren, wenn statt " \underline{k} " der Vektor " \underline{k}_0 " verwendet wird, hat man für \underline{x}_{10} und für \underline{x}_{25} eine Übereinstimmung in den ersten 9 Nachkommastellen; bei \underline{x}_{100} und \underline{x}_{250} jedoch volle Übereinstimmung.)

Hierbei beträgt der Restfehler $\underline{r}_m := \underline{A} \cdot \underline{x}_m - \underline{b}$:

$$\underline{r}_{100} = \begin{pmatrix} 0,901.432 \cdot 10^{-3} \\ -3,257.061 \cdot 10^{-3} \\ 3,963.873 \cdot 10^{-3} \end{pmatrix} \quad \underline{r}_{250} = \begin{pmatrix} -0,619 \cdot 10^{-9} \\ 0,486 \cdot 10^{-9} \\ 0,482 \cdot 10^{-9} \end{pmatrix} \quad (23)$$

Für kleine m-Werte sind die Restfehler \underline{r}_m aber noch "sehr groß". Die langsame Konvergenz der Folgen $(\underline{\tilde{x}}_m)_{m \in \mathbf{N}_0}$ und $(\underline{x}_m)_{m \in \mathbf{N}_0}$ wird durch die Eigenwerte von $\tilde{\Phi}$ bedingt. Diese müssen ja nicht mehr vorgegeben werden - die Lösung des Optimierungsproblems garantiert lediglich $|\tilde{\lambda}_i| < 1$. Tatsächlich liegen diese mit

$$|\tilde{\lambda}_1| = 0,900.828.330.426, \quad |\tilde{\lambda}_2| = 0,900.828.330.426, \quad |\tilde{\lambda}_3| = 0,000.430.484.178$$

zum Teil nahe bei eins. Die Problematik der gezielten Beeinflussung des Eigenwerttupels (ohne dessen explizite Berechnung) wird in Kapitel 3 aufgegriffen.

2.3 Abschließende Bemerkungen zum Optimierungsverfahren

Für das in 2.1 vorgestellte Optimierungsproblem wird eine Lösung angegeben, die jetzt auch die Berechnung eines linearen Gleichungssystems (1) durch zwei Iterationsverfahren erlaubt:

1. Iterative Berechnung von \underline{P}_1 durch Rückwärtslösen der Matrix-Riccati-Differenzgleichung. Anschließend Berechnung von \underline{k}_0 .
2. Mit $\underline{k} = \underline{k}_0$ das erweiterte Fixpunktverfahren (9) durchführen. Anschließend Berechnung des Lösungsvektors " \underline{x} " durch Rücktransformation entsprechend (13).

Da jedoch von den Eigenwerten von $\tilde{\Phi}$ nicht mehr gesichert ist, als: $|\tilde{\lambda}_i| < 1 \quad i \in \{1, \dots, l \leq n\}$, so kann noch keine Genauigkeitsangabe (a-priori-Fehler und a-posteriori-Fehler) für das erweiterte Iterationsverfahren gemacht werden. Eine solche Angabe gelingt aber, da mit Hilfe des vorgestellten Optimierungsverfahrens auch der betragsgrößte Eigenwert von $\tilde{\Phi}$ abgeschätzt werden kann. Dies wird im nächsten Kapitel ausgeführt.

3 Ergänzungen zum quadratischen Gütekriterium

Die Auswahl der Matrizen " \underline{S} ", des Vektors " \underline{c} " und der Zahl " r " scheinen zunächst im Hinblick auf die vorgelegte Aufgabenstellung: "iterative Lösung eines linearen Gleichungssystems" viele Freiheiten zu lassen. Die Wahl von " \underline{S} " erscheint unkritisch, da die Matrix - Riccati - Differenzgleichung unabhängig von " \underline{S} " gegen die Lösung der diskreten algebraischen Matrix - Riccati - Gleichung konvergiert.

Zusätzlich zu der Tatsache, dass für den Spektralradius von $\tilde{\Phi} = \Phi - \underline{h} \cdot \underline{k}_0^T$ gilt: $\rho(\tilde{\Phi}) < 1$, erlauben die Wahl von " \underline{c} " und " r " eine genaue Platzierung der Eigenwerte von $\tilde{\Phi}$ im Innern des Einheitskreises der komplexen Zahlenebene [Hart2]. Da dazu aber auch die Eigenwerte von Φ zuvor bekannt sein müssen, wird (im Hinblick darauf, dass das hier vorzustellende Iterationsverfahren für Gleichungssysteme hoher Ordnung angewendet werden soll) dieser Aspekt nicht weiterverfolgt. Immerhin kann der Spektralradius $\rho(\tilde{\Phi})$ abgeschätzt werden.

3.1 Schranken für den Spektralradius $\rho(\tilde{\Phi})$.

Ausgehend von Iteration (14) mit $\Phi \rightarrow \frac{1}{w} \cdot \Phi =: \Phi_w$ und $\underline{h} \rightarrow \frac{1}{w} \cdot \underline{h} =: \underline{h}_w \quad (w > 0)$ und

$$\underline{x}_{m+1} = \Phi_w \cdot \underline{x}_m + \underline{h}_w \cdot u_m ; \quad \underline{x}_{m=0} = \underline{x}_0 \quad (24)$$

werde eine Folge $\{u_m\}_{m \in \mathbb{N}_0}$ gesucht, sodass mit $u_m = -\underline{k}_m^T \cdot \underline{x}_m$ das quadratische Gütekriterium (18) minimal wird. Sei \underline{k}_w^* der "optimale Vektor" der sich als $\lim_{N \rightarrow \infty} \underline{k}_0$ oder als Lösung der diskreten algebraischen Matrix - Riccati - Gleichung ergibt. Mit diesem Vektor \underline{k}_w^* gilt

$$\rho(\Phi_w + \underline{h}_w \cdot \underline{k}_w^{*T}) < 1 \quad (25)$$

Bezeichne nunmehr λ_i^* einen Eigenwert von $\frac{1}{w} \cdot \Phi + \frac{1}{w} \cdot \underline{h} \cdot \underline{k}_w^{*T}$ und $\tilde{\lambda}_i$ (wie oben) einen Eigenwert von $\tilde{\Phi}_w := \Phi - \underline{h} \cdot \underline{k}_w^{*T}$ sowie \underline{E} die Einheitsmatrix, so folgt aus

$$0 = \det \left(\lambda_i^* \cdot \underline{E} - \left(\frac{1}{w} \cdot \Phi + \frac{1}{w} \cdot \underline{h} \cdot \underline{k}_w^{*T} \right) \right) = \det \left(w \cdot \lambda_i^* \cdot \underline{E} - \left(\Phi + \underline{h} \cdot \underline{k}_w^{*T} \right) \right)$$

endlich $\tilde{\lambda}_i = w \cdot \lambda_i^*$. Mit diesem \underline{k}_w^* gilt:

$$\rho(\tilde{\Phi}) < w \quad (26)$$

Das so erweiterte Iterationsverfahren wird mit den Rechnungen des nachfolgenden Unterpunkts vorgestellt. Es wird wieder das unter 1.3 vorgestellte Rechenbeispiel aufgegriffen; diesmal aber mit 9 bzw. 12 Nachkommastellen.

3.2 Rechenbeispiele zum erweiterten Iterationsverfahren

Mit

$$\underline{A} = \begin{pmatrix} 59 & -63 & -2 \\ 29 & 42 & 51 \\ 36 & 31 & -67 \end{pmatrix} \quad \text{und} \quad \underline{b} = \begin{pmatrix} -73 \\ 266 \\ -103 \end{pmatrix}$$

berechnen sich die $\underline{\Phi}$ - Matrix und der \underline{h} - Vektor wie in 1.3.

Mit $w = \frac{1}{10}$ und $\underline{\Phi}_w = \frac{1}{w} \cdot \underline{\Phi}$, $\underline{h}_w = \frac{1}{w} \cdot \underline{h}$ lauten

$$\underline{\Phi}_w = \begin{pmatrix} 0,000.000.000 & 10,677.966.102 & 0,338.983.051 \\ -6,904.761.905 & 0,000.000.000 & -12,142.857.143 \\ 5,373.134.328 & 4,626.865.672 & 0,000.000.000 \end{pmatrix} \quad \text{und} \quad \underline{h}_w = \begin{pmatrix} -12,372.881.355.932 \\ 63,333.333.333.333 \\ 15,373.134.328.358 \end{pmatrix}$$

Unter Verwendung von \underline{S} , \underline{c} und "r" wie in 2.2 erhält man für $N = 10$ und der Einheitsmatrix für \underline{P}_{10} mit Gleichung (20):

$$\underline{P}_9 \approx \begin{pmatrix} 48,959.414.201 & 29,945.482.078 & 26,524.385.209 \\ 23,945.482.078 & 150,581.701.310 & 12,904.368.225 \\ 26,524.385.209 & 12,904.368.225 & 36,708.746.563 \end{pmatrix}$$

$$\vdots$$

$$\underline{P}_1 \approx \begin{pmatrix} 6.195,608.211.100 & 30.591,456.824.000 & -774,625.645.620 \\ 30.591,456.824.000 & 181.987,753.000.000 & -7.760,651.406.800 \\ -774,625.645.620 & -7.760,651.406.800 & 622,611.391.310 \end{pmatrix}$$

Für die Vektoren \underline{k}_m^T ergibt das mit Gleichung (19):

$$\underline{k}_9^T \approx (-0,080.594.648.281 \quad -0,013.857.607.126 \quad -0,175.695.545.308)$$

$$\vdots$$

$$\underline{k}_0^T \approx (-0,117.736.653.973 \quad 0,026.270.720.999 \quad -0,199.437.647.693)$$

Mit $\underline{k}_w^* = \underline{k}_0$ folgt sodann mit:

$$\tilde{\underline{\Phi}}_w := \underline{\Phi} - \underline{h} \cdot \underline{k}_w^{*T}$$

für

$$\tilde{\underline{x}}_{m+1} = \tilde{\underline{\Phi}}_w \cdot \tilde{\underline{x}}_m + \underline{h}$$

und für

$$\underline{x}_m = \frac{1}{1 - \underline{k}_w^{*T} \cdot \tilde{\underline{x}}_m} \cdot \tilde{\underline{x}}_m \quad \text{sowie} \quad \underline{r}_m = \underline{A} \cdot \underline{x}_m - \underline{b}$$

und den Startvektor $\tilde{\underline{x}}_0^T = (1, 1, 1)$ die Vektoren:

$$m + 1 = 5 : \quad \tilde{\underline{x}}_5 = \begin{pmatrix} 2,971.843.010.215 \\ 5,943.680.457.527 \\ 8,915.516.643.666 \end{pmatrix} \quad \underline{x}_5 = \begin{pmatrix} 1,000.001.061.532 \\ 2,000.000.251.191 \\ 2,999.999.016.477 \end{pmatrix} \quad \underline{r}_5 = \begin{pmatrix} 0,000.048.722 \\ -0,000.008.825 \\ 0,000.111.898 \end{pmatrix}$$

$$m + 1 = 10 : \quad \tilde{\underline{x}}_{10} = \begin{pmatrix} 2,971.840.542.360 \\ 5,943.681.084.719 \\ 8,915.521.627.079 \end{pmatrix} \quad \underline{x}_{10} = \begin{pmatrix} 1,000.000.000.000 \\ 2,000.000.000.000 \\ 3,000.000.000.000 \end{pmatrix} \quad \underline{r}_{10} = \begin{pmatrix} -1,421.085 \cdot 10^{-14} \\ 0,000.000 \cdot 10^{-14} \\ -2,842.171 \cdot 10^{-14} \end{pmatrix}$$

Die Mächtigkeit des erweiterten Iterationsverfahrens zeigt sich erst bei Erniedrigung des Parameters "w" !

Seien $w = \frac{1}{100}$ und die anderen Parameter unverändert, dann erhalten wir nach $N = 5$ Iterationsschritten (beginnend mit $\underline{P}_5 =$ Einheitsmatrix):

$$\underline{P}_1 \approx \begin{pmatrix} 4,877.396.786 \cdot 10^7 & 2,975.175.473 \cdot 10^8 & -1,334.071.540 \cdot 10^7 \\ 2,975.175.473 \cdot 10^8 & 1,818.776.612 \cdot 10^9 & -8.187.822.688 \cdot 10^7 \\ -1,334.071.540 \cdot 10^7 & -8.187.822.688 \cdot 10^7 & 3,712.634.543 \cdot 10^6 \end{pmatrix}$$

$$\underline{k}_0^T \approx (-0,117.898.057.028 \quad 0,025.378.263.771 \quad -0,199.405.203.705)$$

und nach $M = m+1 = 5$ Schritten für die Fixpunktiteration

$$M = 5 : \quad \tilde{\underline{x}}_5 = \begin{pmatrix} 2,988.260.385.409 \\ 5,976.520.770.812 \\ 8,964.781.156.214 \end{pmatrix} \quad \underline{x}_5 = \begin{pmatrix} 1,000.000.000.000 \\ 2,000.000.000.000 \\ 3,000.000.000.000 \end{pmatrix} \quad \underline{r}_5 = \begin{pmatrix} 4,908 \cdot 10^{-11} \\ -8,868 \cdot 10^{-12} \\ 1,112 \cdot 10^{-10} \end{pmatrix}$$

Seien jetzt noch $w = \frac{1}{10.000}$, $N = 2$ und $M = m+1 = 4$, dann erhalten wir (allen anderen Parameter unverändert):

$$\underline{P}_1 \approx \begin{pmatrix} 2,061.646.012 \cdot 10^{14} & 1,260.667.803 \cdot 10^{15} & -5,678.165.532 \cdot 10^{13} \\ 1,260.667.803 \cdot 10^{15} & 7,708.847.447 \cdot 10^{15} & -3,472.169.309 \cdot 10^{14} \\ -5,678.165.532 \cdot 10^{13} & -3,472.169.309 \cdot 10^{14} & 1,563.938.679 \cdot 10^{13} \end{pmatrix}$$

$$\underline{k}_0^T \approx (-0,117.899.526.977 \quad 0,025.369.284.637 \quad -0,199.404.800.048)$$

$$M = 4 : \quad \tilde{\underline{x}}_4 = \begin{pmatrix} 2,988.423.068.799 \\ 5,976.846.137.597 \\ 8,965.269.206.396 \end{pmatrix} \quad \underline{x}_4 = \begin{pmatrix} 1,000.000.000.000 \\ 2,000.000.000.000 \\ 3,000.000.000.000 \end{pmatrix} \quad \underline{r}_4 = \begin{pmatrix} 7,958 \cdot 10^{-13} \\ -1,705 \cdot 10^{-13} \\ 1,691 \cdot 10^{-12} \end{pmatrix}$$

3.3 Algorithmische Formulierung des erweiterten Iterationsverfahrens

Vorbereitend für die algorithmische Formulierung werden die folgenden Definitionen eingeführt:

Definition 3.1 Die Funktion *Ricc*

$$\begin{aligned} Ricc : \quad \mathbf{R}^{n \times n} &\longrightarrow \mathbf{R}^{n \times n} \\ \underline{P} &\longmapsto Ricc(\underline{P}) = \underline{Q} + \underline{\Phi}_w^T \cdot \left(\underline{P} - \underline{P} \cdot (\underline{h}_w \cdot \underline{h}_w^T) \cdot \underline{P} \cdot \frac{1}{r + \underline{h}_w \cdot \underline{P} \cdot \underline{h}_w^T} \right) \cdot \underline{\Phi}_w \end{aligned}$$

Definition 3.2 Die Funktion *F*

$$\begin{aligned} F : \quad \mathbf{R}^n &\longrightarrow \mathbf{R}^n \\ \underline{x} &\longmapsto \underline{F}(\underline{x}) = (\underline{\Phi}_w - \underline{h}_w \cdot \underline{k}_0^T) \cdot \underline{x} \end{aligned}$$

Nun zum Algorithmus.

1. Zum linearen Gleichungssystem $\underline{A} \cdot \underline{x} = \underline{b}$: $\underline{\Phi}$ und \underline{h} berechnen.
2. $0 < w < 1$, N und M wählen.
3. $\underline{\Phi}_w := \frac{1}{w} \cdot \underline{\Phi}$ und $\underline{h}_w := \frac{1}{w} \cdot \underline{h}$ berechnen.
4. Mit Startwert $\underline{P}_N = \underline{E}$ - Einheitsmatrix in N - Iterationsschritten mittels Funktion "Ricc" durch

$$\underline{P}_{n-1} = Ricc(\underline{P}_n)$$

den Näherungswert \underline{P}_1 berechnen.

5. Den Vektor \underline{k}_0 berechnen:

$$\underline{k}_0^T = \frac{1}{r + \underline{h}_w^T \cdot \underline{P}_1 \cdot \underline{h}_w} \cdot \left(\underline{h}_w^T \cdot \underline{P}_1 \cdot \underline{\Phi}_w \right)$$

6. Mit beliebigem Startwert $\tilde{\underline{x}}_0$ in M - Iterationsschritten ($M > 1$) mittels der Funktion "F" durch

$$\tilde{\underline{x}}_{m+1} = F(\tilde{\underline{x}}_m) + \underline{h}$$

den Näherungswert $\tilde{\underline{x}}_M$ berechnen.

7. Den Näherungswert \underline{x}_M gemäß Vorschrift:

$$\underline{x}_M = \left(\frac{1}{1 - \underline{k}_0^T \cdot \tilde{\underline{x}}_M} \right) \cdot \tilde{\underline{x}}_M$$

und

$$\underline{r}_M = \underline{A} \cdot \underline{x}_M - \underline{b}$$

berechnen.

Literatur

- [Lud] Ludyk, Günter: *Theoretische Regelungstechnik, Bde. I und II*
Springer-Verlag, Berlin Heidelberg New York, 1995
- [Hart1] Hartmann,I.: *Lineare Systeme*
Springer-Verlag, Berlin Heidelberg New York,1976
- [Hart2] Hartmann,I.: *Zeitdiskrete Systeme*
Kursmaterialien zur Automatisierung, TU-Berlin, 1978
- [Mei] Meister, A.: *Numerik linearer Gleichungssysteme*
Verlag Vieweg und Sohn, Braunschweig/Wiesbaden, 1999
- [Foell] Föllinger, O.: *Regelungstechnik*
Hüthig Buch Verlag, Heidelberg, 1992
- [LS] Landgraf,C; Schneider,G.: *Elemente der Regelungstechnik*
Springer-Verlag, Berlin Heidelberg New York, 1970